



Escuela / Facultad: .....

Campus

TITULACIÓN: .....

ASIGNATURA: RADIACIÓN Y PROPAGACIÓN


D.N.I.: .....

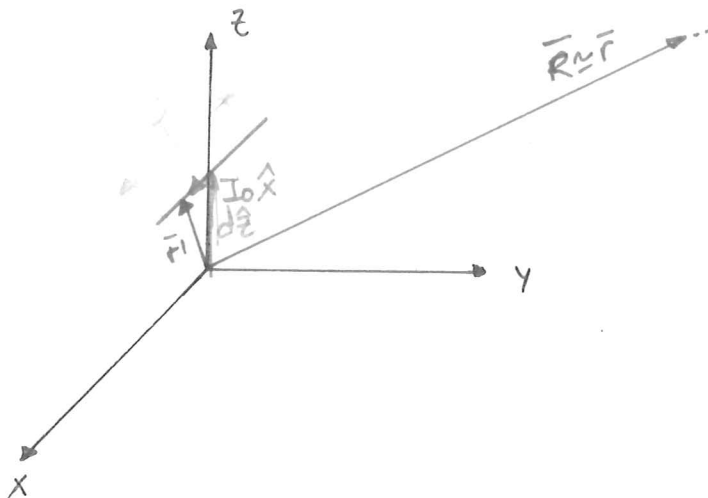
APELLIDOS: ..... NOMBRE: .....

FECHA: MAYO 2018 CURSO: ..... GRUPO: .....

PROBLEMA 2 : Dipolo de longitud  $h \ll \lambda$  situado según eje x, paralelo al suelo y con su centro en  $z = \lambda/4$ .

a) Vector de radiación y campo radiado (distribución de corriente uniforme)

Definimos la geometría del problema:



$h \ll \lambda \rightarrow$  dipolo infinitesimal

- El tamaño del dipolo es despreciable con respecto a  $\bar{r}$

$$\bar{r}' = d\hat{z} + x'\hat{x}^0 \text{ (infinitesimal)} \quad (d = \lambda/4)$$

$$l' = x' \rightarrow dl' = dx'$$

$\hat{l} = \hat{x}' = \hat{z}$  (en cartesianas los unitarios conciden)

$I = Io\hat{x}$  (fluye sobre el dipolo)

Además, piden campo radiado, campo lejano  $\rightarrow$  se aplican las expresiones simplificadas y  $R = |\bar{r} - \bar{r}'| \approx \bar{r}$  (amplitud) y  $e^{-ikR} \approx e^{-ik\bar{r} - \bar{r}'\hat{r}}$  (fase)

y  $\hat{R} \approx \hat{r}$  (dirección)

$$\bar{r}' \cdot \hat{r} = d\hat{z} \cdot (\sin\theta \cos\phi \hat{x} + \sin\theta \sin\phi \hat{y} + \cos\theta \hat{z}) = d \cos\theta$$

Con las particularizaciones para la geometría y datos específicos, planteamos la ecuación del vector de radiación:

$$\bar{N}(\bar{r}) = \int_{de'} I(l') \hat{l}' \cdot e^{-ik\bar{r}' \cdot \hat{r}} dl'$$

particularizando con lo anterior, se llega a una integral inmediata:

$$\bar{N}(\vec{r}) = \int d\vec{e}' I(e') \hat{e}' \hat{e}'^* e^{ik(\vec{r}, \vec{r}')} d\vec{e}' = -\frac{\cancel{4\pi}}{\cancel{4\pi}} \int_{-\frac{\pi}{2}}^{\frac{\pi}{2}} J_0 e^{-ikd \cos \theta} dx'$$

$$\bar{N}(\vec{r}) = -\frac{\cancel{4\pi}}{\cancel{4\pi}} J_0 e^{-ikd \cos \theta} \hat{e} = -\frac{\cancel{4\pi}}{\cancel{4\pi}} J_0 h e^{-ikd} \hat{e}$$

Puesto que el campo radiado ha de expresarse siempre en coordenadas esféricas:

$$\boxed{N(\vec{r}) = -\frac{\cancel{4\pi}}{\cancel{4\pi}} J_0 h e^{-ikd} (\sin \theta \cos \phi \hat{r} + \cos \theta \cos \phi \hat{\theta} - \sin \phi \hat{\phi})} \quad (0.5pt)$$

La expresión del campo eléctrico a partir del vector de radiación en campo lejano:

$$\bar{E}(\vec{r}) = \frac{e^{-ikr}}{r} \left\{ -\frac{\eta i k}{4\pi} \right\} \underbrace{\bar{N}(\vec{r}) - (\bar{N}(\vec{r}) \cdot \hat{r}) \hat{r}}_{\text{componente radial}} \rightarrow \bar{E} = E_\theta \hat{\theta} + E_\phi \hat{\phi}$$

$$\boxed{\bar{E}(\vec{r}) = \frac{e^{-ikr}}{r} \left\{ -\frac{\eta i k}{4\pi} \right\} J_0 h \left\{ \cos \theta \cos \phi \hat{\theta} - \sin \phi \hat{\phi} \right\} \quad [V/m]} \quad (0.5pt)$$

Polarización del campo:

\* Caso general: El campo tiene componentes  $\hat{\theta}$  y  $\hat{\phi}$ .

Puesto que  $|E_\theta| \neq |E_\phi| \Rightarrow$  Polarización elíptica  $(0.1pt)$

\* Plano XZ:  $\phi=0 \Rightarrow \bar{E}(\vec{r}) = E_\theta \hat{\theta} \Rightarrow$  Pol. LINEAL  $(0.05pt)$

\* Plano ZY:  $\phi=90^\circ \Rightarrow \bar{E}(\vec{r}) = E_\phi \hat{\phi} \Rightarrow$  Pol. LINEAL  $(0.05pt)$

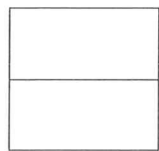


Escuela / Facultad: .....

Campus

TITULACIÓN: .....

ASIGNATURA: RADIACIÓN Y PROPAGACIÓN



D.N.I.: .....

APELLIDOS: ..... NOMBRE: .....

FECHA: MAYO 2018 CURSO: ..... GRUPO: .....

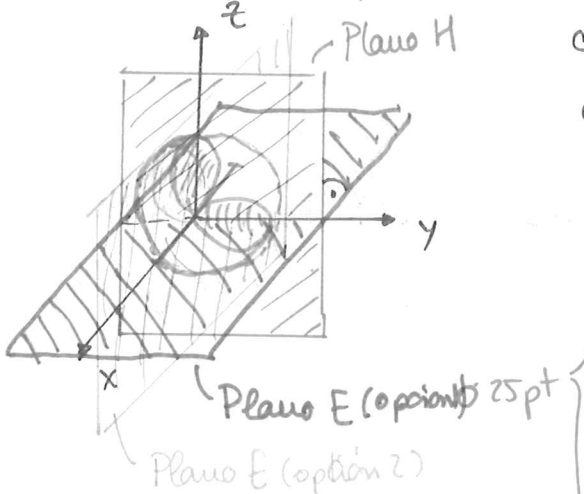
b) Defina planos E y H e identifíquelo en este caso.

Represente dichos planos para la componente ppal de campo E.

En una antena omnidireccional (suponemos dipolo sobre eje z)

{ Plano E: cualquier plano de  $\phi = \text{cte}$  que contiene el dipolo  
Plano H: plano xy ortogonal al dipolo.

En este caso específico, el dipolo está sobre el eje x (lo consideras centrado, no cambia nada para la identificación de sus planos de radiación).



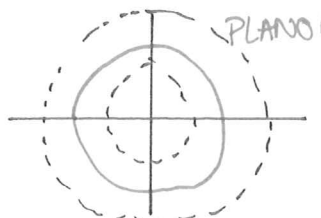
{ Plano E: plano que contiene el dipolo y con  $\theta = \text{cte}$  en este caso; por ejemplo  $\theta = 90^\circ, \phi = 0^\circ$ . Plano XY (si  $\theta$  toma otro valor, cambia la amplitud del diagrama, no su forma).

Plano H: plano ortogonal: plano YZ  
( $\phi = 90^\circ$ )

Representación:  $f_N \rightarrow$  módulo al cuadrado del campo normalizado:

Plano E:  $\phi = 0^\circ, \theta = 90^\circ \Rightarrow f_N = |\sin \phi|^2$

Plano H:  $\phi = 90^\circ \Rightarrow f_N = 1$



(0.25 pts)

## c) Directividad ( $d\beta_i$ )

Expresión de la directividad (es posible usar otras variaciones)

$$D = \frac{4\pi}{\int_{\Omega} DR(\theta, \phi) d\Omega} = \frac{4\pi}{\int_{\Omega} \sin^2 \theta d\Omega} = \frac{4\pi}{\int_0^{2\pi} \int_0^{\pi} \sin^2 \theta \cdot \sin \theta d\theta d\phi}$$

$DR = f_N$

$$D = \frac{4\pi}{2\pi \int_0^{\pi} \sin^2 \theta \cdot \sin \theta d\theta} = \frac{4\pi}{2\pi \cdot 4/3} = \frac{3}{2} = 1.5$$

(0.5 pt)

En  $d\beta_i \Rightarrow D = 10 \log(1.5) = 1.76 d\beta_i$

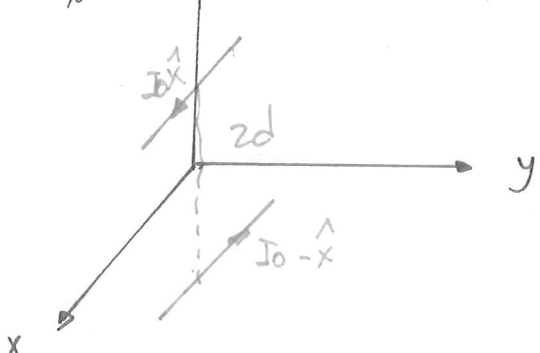
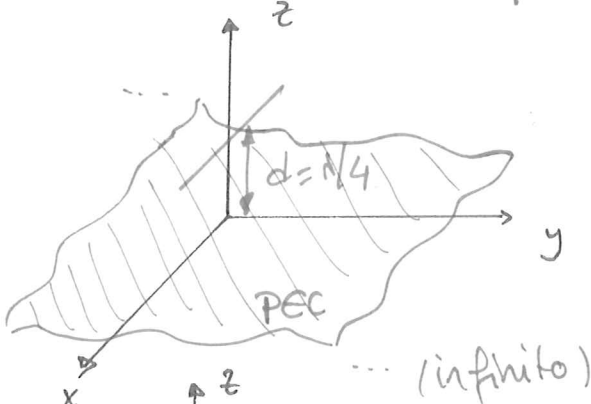
(\*\*) La integral puede resolverse de varias formas. Por ejemplo, expresando el  $\sin^2 \theta$  como  $1 + \cos^2 \theta$  y haciendo un cambio de variable

$$\int_0^{\pi} \sin^2 \theta \cdot \sin \theta d\theta = \int_0^{\pi} (1 + \cos^2 \theta) \sin \theta d\theta = \begin{cases} u = \cos \theta \\ du = -\sin \theta d\theta \end{cases} = \int_0^{\pi} -(1 - u^2) du = \frac{u^3}{3} - u \Big|_0^{\pi}$$

$$= \left[ \frac{\cos^3 \theta}{3} - \cos \theta \right]_0^{\pi} = -\frac{1}{3} + 1 - \frac{1}{3} + 1 = 4/3$$

des haciendo cambio

## d) Plano de malla en plano XY. Campo radiado + efecto



El problema puede resolverse por teoría de imágenes, sustituyendo el plano de malla por otro dipolo de la misma longitud, a distancia  $zd$  del primero y con la misma corriente pero de sentido opuesto.

El campo radiado puede calcularse de cero, particularizando para este caso, o aplicando la propiedad de traslación al campo de un dipolo según  $x$  en el origen (o al obtenido en el apartado a)

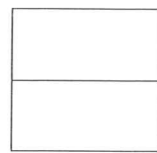


Escuela / Facultad: .....

Campus

TITULACIÓN: .....

ASIGNATURA: RADIACIÓN Y PROPAGACIÓN



D.N.I.: .....

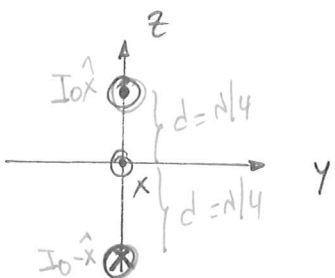
APELLIDOS: ..... NOMBRE: .....

FECHA: MAYO 2019 CURSO: ..... GRUPO: .....

Suponemos el campo de un dipolo según & en el origen de coordenadas:

$$\bar{E}_0 = \frac{e^{-jkr}}{r} - \frac{\eta i k}{4\pi} I_0 h (\cos \theta \cos \phi \hat{i} - \sin \phi \hat{j})$$

(Es el del aportado a, sin el término de traslación)



$$\bar{E}(\vec{r}) = E_0 \left( e^{j k \vec{r} \cdot \hat{r}} - e^{-j k \vec{r} \cdot \hat{r}} \right)$$

$$\vec{r} \cdot \hat{r} = d \cos \theta \quad (\text{aportado a})$$

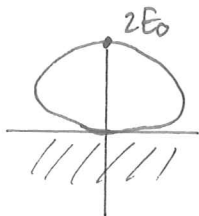
$$\bar{E}(\vec{r}) = E_0 \left( e^{j kd \cos \theta} - e^{-j kd \cos \theta} \right) \text{ V/m}$$

$$\bar{E}(\vec{r}) = \underbrace{E_0 e^{j kd}}_{\text{dipolo aislado}} \left( 1 - e^{j 2kd \cos \theta} \right) \text{ V/m}$$

El plano de masa hace que no haya radiación en  $\theta > \pi/2$  y refuerza la radiación en la semiesfera positiva ( $\theta < \pi/2$ ) por estar situado a  $\lambda/4$  del dipolo (interferencia constructiva) (opt)

$$\bar{E}(\vec{r}) = E_0 (1 - e^{-j 2kd \cos \theta}) \quad \text{si } k = \frac{2\pi}{\lambda} \text{ y } d = \lambda/4$$

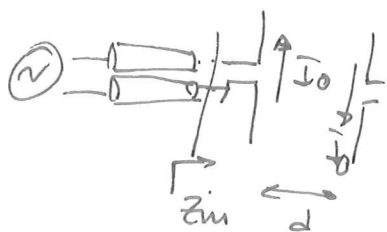
$$\bar{E}(\vec{r}) = E_0 (1 - e^{-j \pi \cos \theta})$$



- |  |                                                                        |
|--|------------------------------------------------------------------------|
|  | en $\theta = 0$ (máxima radiación) $E_0(1 - (-1)) = 2 E_0$ (reforzada) |
|  | en $\theta = \pi/2$ (horizonte): $E_0(1 - 1) = 0$ (se anula)           |
|  | en $\theta \geq \pi/2$ (debajo del plato) No hay campo                 |

e)  $\Gamma$  y  $R_{\text{rad}}$  si  $Z_{11} = 15 - j40 \Omega$   $Z_{12} = Z_{21} = -12.5 + j29 \Omega$  y  $Z_0 = 50 \Omega$

En ese caso, tal y como se vio en clase, la impedancia de entrada se modifica en función del acople mutuo entre dipolos



$$Z_{in} = Z_{11} - Z_{12} = 15 - j40 - (-12.5 + j29)$$

$$Z_{in} = 27.5 - j69 \Omega$$

El coeficiente de reflexión, se obtiene como:

$$\boxed{\Gamma = Z_0 \log \left| \frac{Z_{in} - Z_0}{Z_{in} + Z_0} \right| = -3.10 \text{ dB}} \quad (0.2 \text{ pt})$$

La resistencia de radiación es la parte real de la impedancia de entrada, considerando ( $\epsilon=1$ ) .

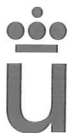
$$\boxed{R_{\text{rad}} = \operatorname{Re} Z_{in}} = 27.5 \Omega \quad (0.2 \text{ pt})$$

Puesto que la impedancia de entrada tiene componente reactiva ( $Z_{in} \in \mathbb{C}$ ) hay que añadir una RED DE ADAPTACIÓN que permita:

- Compensar dicha parte reactiva
- Adaptar la resistencia de radiación a la impedancia de la Red ( $Z_0$ )

Además, por tratarse de un elemento balanceado, si se alimenta con un cable no balanceado, hay que añadir un BALUN

(0.1 pt)



Escuela / Facultad: .....

Campus

TITULACIÓN: .....


ASIGNATURA: .....

D.N.I.: .....

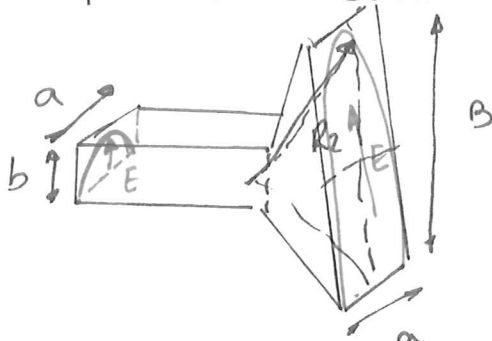
APELLIDOS: ..... NOMBRE: .....

FECHA: ..... CURSO: ..... GRUPO: .....

PROBLEMA 3: Bocina sectorial plana E óptima.

a) Dimensiones

Bocina sectorial plana E  $\Rightarrow$  abocinamos el plano que contiene el plano E  $\Rightarrow$  dimensión B



Por ser óptima:  $s = 1/4$   
además:  $A = a$  (0.1 pt)  
- necesitamos definir B y R<sub>2</sub>

Otras datos:

$$\beta_{W-3dB} = 18^\circ \Rightarrow \theta_{-3dB} = 9^\circ$$

$$f = 30 \text{ GHz} \Rightarrow \lambda = c/f = 10^{-2} \text{ m} = 1 \text{ cm}$$

Del diagrama universal plano E (diagrama central), para  $s=1/4$   
a  $-3 \text{ dB}$  el eje de abscisas es (aproximadamente)  $0.48^\circ$ :

$$(B/A) \operatorname{sen}(9^\circ) = 0.48 \Rightarrow B = \frac{0.48\lambda}{\operatorname{sen}(9^\circ)} = 30.7 \text{ mm} \quad (0.2 \text{ pt})$$

$$B = \sqrt{2\lambda R_2} \Rightarrow R_2 = \frac{B^2}{2\lambda} = 47.3 \text{ mm} \quad (0.2 \text{ pt})$$

b) Campo radiado y módulo en el plano E ( $\theta = 29^{\circ} 25^{\circ}$ ) a 1km

Partimos del campo en la apertura y su transformada, que define el diagrama universal de radiación, es decir:

$$P_y = \iint_{S_A} \bar{E}_a(x, y, z) e^{j \frac{2\pi}{\lambda} (ux' + vy')} dx' dy'$$

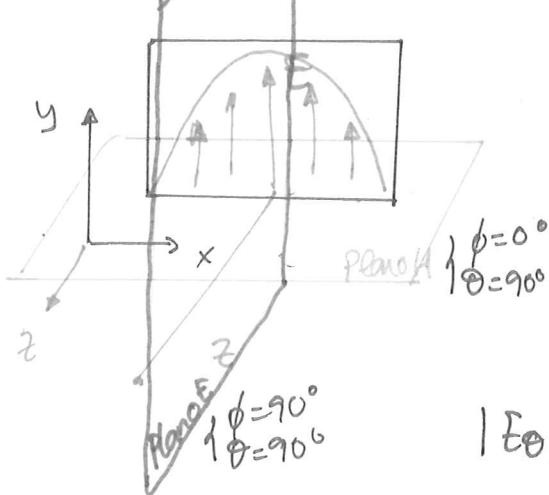
$$\text{Con } \bar{E}_a(x, y, z) = E_0 \cos\left(\frac{\pi x}{a}\right) e^{-j \beta_0 y^2 / 2R_z}$$

por ser una bocina sectorial plana E

Por el 2º principio de equivalencia, se obtiene el campo radiado sin más que añadir las constantes necesarias y los factores de oblicuidad:

$E_{\theta}(r, \theta, \phi) = j \frac{ke^{jkr}}{2\pi r} P_y \sin \theta$	(0.25 pt)
$E_{\phi}(r, \theta, \phi) = j \frac{ke^{jkr}}{2\pi r} \cos \theta P_y \cos \phi$	

Para calcular su módulo, primero particularizamos para el plano E. En este caso, el plano E es el que contiene al vector de campo eléctrico y a la dirección de propagación máxima  $\Rightarrow \begin{cases} \phi = 90^\circ \\ \theta = 90^\circ \end{cases}$



En ese caso:

$$\begin{cases} E_{\theta} = \text{---} P_y \sin(90^\circ) = \text{---} P_y \\ E_{\phi} = \text{---} P_y \cos(90^\circ) \cos(90^\circ) = 0 \\ \text{solo hay } E_{\theta} \rightarrow \text{en } \theta = 29^{\circ} 25^{\circ} \text{ y } R = 1 \text{ km} \end{cases}$$

$$|E_{\theta}| = \frac{k}{2\pi \cdot 10^3} \cdot \underbrace{P_y}_{\text{diagrama: } -j0d\beta} (29^{\circ} 25^{\circ}) = 20 \log\left(\frac{2\pi}{4 \cdot 2\pi} \cdot 10^3\right) - 10$$

$$|E_{\theta}| = -30 - 20 = -50 \text{ dB} \quad (0.5 \text{ pt})$$



Escuela / Facultad: .....

Campus

TITULACIÓN: .....

ASIGNATURA: RADIACIÓN y PROPAGACIÓN


D.N.I.: .....

APELLIDOS: ..... NOMBRE: .....

FECHA: MAYO 2018. CURSO: ..... GRUPO: .....

Para la directividad, se usa la fórmula general en aperturas:

$$D = \frac{4\pi}{\lambda^2} A_{ef} = \frac{4\pi}{\lambda^2} S_A E_A$$

- \* La superficie de la apertura es  $a \cdot B$
- \* La eficiencia de una bocina SECTORIAL con distribución de tipo coseno es 0.85.

$$D = \frac{4\pi}{\lambda^2} B \cdot a \cdot 0.85 = 22.22 \Rightarrow D(\text{dBi}) = 10 \log(22.22) = 13.47 \quad (0.15 \text{ pt})$$

c) Bocina cónica corrugada con mismo ancho de haz

$$BW_{-3dB} = 18^\circ \Rightarrow \theta_{-3dB} = 9^\circ \quad (-3dB = 0.7089 \text{ v.u.})$$

Buscamos en la gráfica con  $s = 0.7$  el punto a  $-10dB$  ( $0.7089$ )  $\Rightarrow 3$

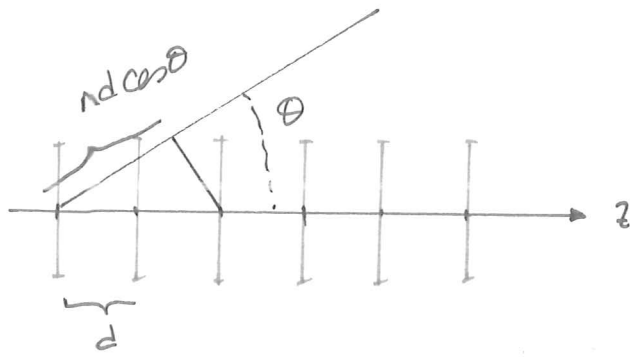
$$\frac{2\pi}{\lambda} \frac{a}{\lambda} \sin(9^\circ) = 3 \Rightarrow a = \frac{3\lambda}{2\pi \sin(9^\circ)} = 30.5 \text{ mm} \quad (0.125 \text{ pt})$$

$$L = \frac{a^2}{2\pi s} = 66.5 \text{ mm}$$

$$\text{Directividad: } D = \frac{4\pi}{\lambda^2} S_A E_A = \frac{4\pi}{\lambda^2} \pi a^2 \cdot 0.981 = 360.78 \rightarrow D = 25.57 \text{ dBi} \quad (0.125 \text{ pt})$$

Con una apertura de dimensiones similares (aunque más larga), se obtienen 12 dB más de directividad. Además se reduce el nivel de lobulos secundarios.  $(0.125 \text{ pt})$

PROBLEMA 4: ARRAY lineal de  $N=6$ .



a) Nos piden alimentaciones y separación ( $d$  y  $\theta$ ) para que se cumplan las siguientes condiciones:

b) Factor de array en  $\Psi$  y  $\Phi$

\* Distribución de fase progresiva y amplitud uniforme:

$$a_n = |a_n| e^{j \frac{2\pi}{N} n u} = e^{j \frac{2\pi}{N} n u}$$

$|a_n| = 1$

- \* Diagrama de máxima directividad: el margen visible llega hasta el nulo adyacente al primer grating lobe.
- \* Máximo del lóbulo principal en  $\theta = 0 \Rightarrow$  array ENDFIRE
- \* Nulo en  $\theta = \pi \rightarrow$  esto nos define el otro límite  $d = -k d$  del margen visible (el primero es  $\theta = 0$  por ser endfire), que además es el nulo adyacente al grating lobe (para ver el máximo margen visible)

Describimos el factor de array y vamos aplicando los condiciones anteriores.

$$FA(\theta) = \sum_{n=0}^{N-1} e^{j n (k d \cos \theta + d)}$$

siendo  $\Psi = k d \cos \theta + d \Rightarrow$

$$\Rightarrow FA(\Psi) = \sum_{n=0}^{N-1} e^{j n \Psi} = e^{j N \Psi / 2} \frac{\sin(N \Psi / 2)}{\sin(\Psi / 2)}$$

Sus nulos estarán en:  $|FA(\Psi)|_{\text{norm}} = \frac{1}{N} \left| \frac{\sin(N \Psi / 2)}{\sin(\Psi / 2)} \right| = 0$

nulos:

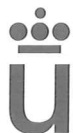
$$\sin(N \Psi_0 / 2) = 0 \Rightarrow \frac{N \Psi_0}{2} = \pm n \pi, \quad n = 1, 2, \dots \text{ y } n \neq 0, N, \dots$$

$\uparrow$   
 $\downarrow$   
 maximo  
 grating lobe

$$\Psi_0 = \pm \frac{n 2\pi}{N} = \pm n \frac{2\pi}{6} = \pm n \pi / 3$$

$$\Psi_0 = \pm \pi / 3, \pm 2\pi / 3, \pm \pi, \pm 4\pi / 3, \pm 5\pi / 3, \boxed{\pm 2\pi} \rightarrow \text{grating lobe}$$

$\uparrow$   
 $\downarrow$   
 (no es un nulo,  $n=N$ )



Escuela / Facultad: .....

Campus

TITULACIÓN: .....

ASIGNATURA: RADIACIÓN Y PROPAGACIÓN

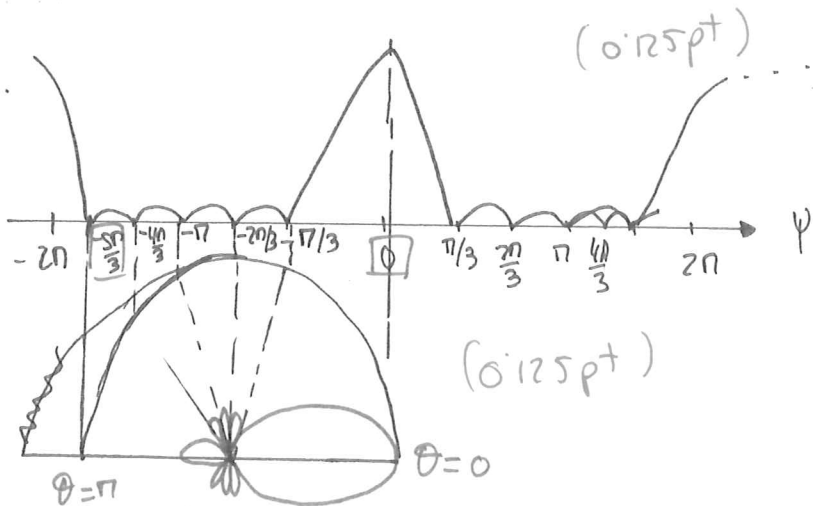

D.N.I.: .....

APELLIDOS: ..... NOMBRE: .....

FECHA: MAYO 2018 CURSO: ..... GRUPO: .....

Tengo la posición de los nulos en  $\Psi$ . Para maximizar la directividad cargo el límite del margen visible en el nulo adyacente al grating lobe, pero ¿cuál? el de  $+2\pi$  o el de  $-2\pi$ .

- Puesto que es de tipo ENDFIRE, el margen superior será 0.
- por lo que es el margen inferior el que queda definido por el nulo adyacente al grating lobe.



Margen visible:

$$\Psi \in [-\frac{5\pi}{3}, 0]$$

Para array endfire con  $\theta_{max} = 0$  y  $d = -kd$ , el margen es:

$$-2kd \leq \Psi \leq 0$$

Con lo que:  $-\frac{5\pi}{3} = -2kd$

$$\frac{5\pi}{3} = \frac{4\pi}{\lambda} d \Rightarrow d = \frac{5\lambda}{12} = 0.42\lambda$$

(0.375pt)

La fase progresiva, una vez se tiene la separación, se obtiene como:

$$\alpha = -kd = -\frac{2\pi}{\lambda} \cdot 0.42\lambda = -0.84\pi \text{ rad} \Rightarrow \boxed{\alpha = -151^\circ} \quad (0.375pt)$$

b) Obtener los anchos de haz a  $-3d\beta$  en los planos E y H

$$\text{PLANO PERPENDICULAR A LOS DIPOLOS: } f_N = \frac{\cos(\pi/2 \operatorname{sen} \theta)}{\cos(\theta)}$$

$$\theta=0 \rightarrow \frac{\cos(\pi/2 \operatorname{sen} 0)}{\cos(0)} = 1 \quad \Rightarrow \text{el corte omni direccional de los dipolos}$$

$$E_T = FA \cdot |\cancel{E_0}|^1 = FA \rightarrow \text{buscamos la caída de } -3d\beta \text{ en el FA.}$$

$$\text{BW entre nulos: } 1^{\circ} \text{ nulo: } m=-1 \rightarrow \frac{N\Psi}{2} = -\pi \quad \frac{N}{2} \left( \frac{kd \cos \theta_{N1} - kd}{z} \right) = -\pi$$

$$\theta_{\text{nulo}} = \cos^{-1} \left( \frac{\frac{2\pi}{N} + kd}{kd} \right) = \cos^{-1} \left( \frac{-\frac{2\pi}{6} + \frac{5\pi}{6}}{\sin 6^\circ} \right) = \cos^{-1} \left( \frac{3}{5} \right) = 53.1^\circ$$

$$\text{BW}_{\text{nulos}} = 106.2^\circ$$

$$\text{BW}_{-3d\beta} \Rightarrow \boxed{\Delta\theta_{-3d\beta} = 2 \cos^{-1} \left( 1 - \frac{0.443d}{dN} \right) = 2 \cos^{-1} \left( 1 - \frac{0.443}{0.426} \right) = 69^\circ} \quad (0.375 \text{ pt})$$

alternativa:

$$\frac{\frac{1}{N} \left| \frac{\operatorname{sen} \left( N\Psi_{-3d\beta} \right)}{\operatorname{sen} \left( \Psi_{-3d\beta} \right)} \right|}{\frac{1}{N}} = \frac{1}{\sqrt{2}} \approx 42.4 \rightarrow \text{por tanto}$$

EN EL PLANO QUE CONTIENE LOS DIPOLOS:

El diagrama del dipolo ya no es omni direccional, hay que tenerlo en cuenta:

$$E_T = \frac{1}{N} \left| \frac{\operatorname{sen} \left( N\Psi_{-3d\beta}/2 \right)}{\operatorname{sen} \left( \Psi_{-3d\beta}/2 \right)} \right| \cdot \left| \frac{\cos \left( \pi/2 \operatorname{sen} \theta \right)}{\cos \theta} \right| = \frac{1}{\sqrt{2}}$$

$$\theta \approx 29^\circ \rightarrow \boxed{\text{BW}_t = 58^\circ} \quad (0.375 \text{ pt})$$

d) Directividad (estima por ancho de haz) (0.25 pt)

$$D_0 \approx \frac{41253}{\text{BW}_1 \cdot \text{BW}_2} = \frac{41253}{69 \cdot 8 \cdot 58} = 10.2 \rightarrow \boxed{D(d\beta_i) = 10.1}$$